

Dynamique non linéaire et rayonnement acoustique des structures à interfaces frottantes

Workshop csma juniors - 14 mai 2017
Mini cours 1 : vibrations non linéaires

Kevin Soobbarayen



De quelles structures s'agit-il ?

Exemple de la nature

- Frottement ailes
- Vibrations
- Chant du grillon



Instruments de musique

- Archet/corde
- Baguette/corps
- Vibrations, sons



Nuisances sonores

- Frottement disque/garniture
- Vibrations, crissement



Enjeux liés au crissement des freins à disque

Secteur aéronautique

- Cissement à l'atterrissement
- Bruit inaudible
- Vibrations dommageables
- Sécurité



Secteur ferroviaire

- Train entrant en gare
- Niveau sonore élevé
- Norme européenne, seuil de douleur
- Santé



Secteur automobile

- Ambiance acoustique
- Qualité perçue
- Coût de garantie important
- Confort, économie



Compréhension et prédition du comportement vibratoire et acoustique des systèmes de frein sujets au cissement

Description d'un évènement de crissement

- Disque en rotation
- Pression hydraulique de freinage
- Contact frottant disque / plaque
- Configuration d'équilibre glissant
- Stable → pas de crissement
- **Instable :**
 - Divergence
 - Vibrations auto-entretenues
 - Émissions sonores de crissement

Interface

- Contact frottant
- Instabilité dynamique

Vibrations

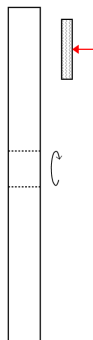
- Non linéaires
- Auto-entretenues
- Spectre complexe

Rayonnement acoustique

- Niveaux importants
- Rayonnement complexe

Description d'un évènement de crissement

- Disque en rotation
- Pression hydraulique de freinage
- Contact frottant disque / plaquette
- Configuration d'équilibre glissant
- Stable → pas de crissement
- Instable :
 - Divergence
 - Vibrations auto-entretenues
 - Émissions sonores de crissement



Interface

- Contact frottant
- Instabilité dynamique

Vibrations

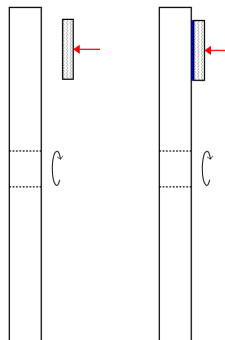
- Non linéaires
- Auto-entretenues
- Spectre complexe

Rayonnement acoustique

- Niveaux importants
- Rayonnement complexe

Description d'un évènement de crissement

- Disque en rotation
- Pression hydraulique de freinage
- Contact frottant disque / plaquette
- Configuration d'équilibre glissant
- Stable → pas de crissement
- Instable :
 - Divergence
 - Vibrations auto-entretenues
 - Émissions sonores de crissement



Interface

- Contact frottant
- Instabilité dynamique

Vibrations

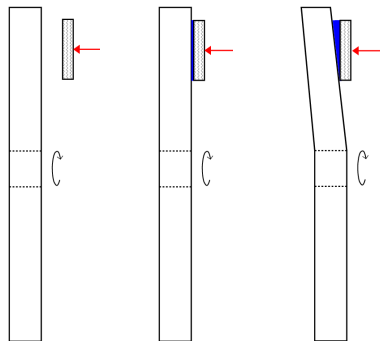
- Non linéaires
- Auto-entretenues
- Spectre complexe

Rayonnement acoustique

- Niveaux importants
- Rayonnement complexe

Description d'un évènement de crissement

- Disque en rotation
- Pression hydraulique de freinage
- Contact frottant disque / plaquette
- Configuration d'équilibre glissant
- Stable → pas de crissement
- Instable :
 - Divergence
 - Vibrations auto-entretenues
 - Émissions sonores de crissement



Interface

- Contact frottant
- Instabilité dynamique

Vibrations

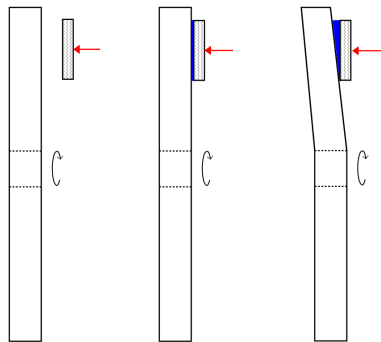
- Non linéaires
- Auto-entretenues
- Spectre complexe

Rayonnement acoustique

- Niveaux importants
- Rayonnement complexe

Description d'un évènement de crissement

- Disque en rotation
- Pression hydraulique de freinage
- Contact frottant disque / plaquette
- Configuration d'équilibre glissant
- Stable → pas de crissement
- **Instable** :
 - Divergence
 - Vibrations auto-entretenues
 - Émissions sonores de crissement



Interface

- Contact frottant
- Instabilité dynamique

Vibrations

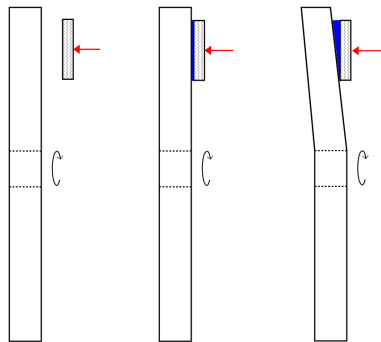
- Non linéaires
- Auto-entretenues
- Spectre complexe

Rayonnement acoustique

- Niveaux importants
- Rayonnement complexe

Description d'un évènement de crissement

- Disque en rotation
- Pression hydraulique de freinage
- Contact frottant disque / plaquette
- Configuration d'équilibre glissant
- Stable → pas de crissement
- **Instable** :
 - Divergence
 - Vibrations auto-entretenues
 - Émissions sonores de crissement



Interface

- Contact frottant
- Instabilité dynamique

Vibrations

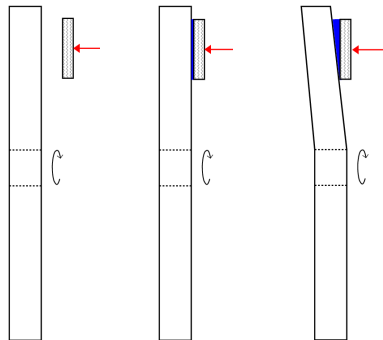
- Non linéaires
- Auto-entretenues
- Spectre complexe

Rayonnement acoustique

- Niveaux importants
- Rayonnement complexe

Description d'un évènement de crissement

- Disque en rotation
- Pression hydraulique de freinage
- Contact frottant disque / plaquette
- Configuration d'équilibre glissant
- Stable → pas de crissement
- **Instable** :
 - Divergence
 - Vibrations auto-entretenues
 - Émissions sonores de crissement



Interface

- Contact frottant
- Instabilité dynamique

Vibrations

- Non linéaires
- Auto-entretenues
- Spectre complexe

Rayonnement acoustique

- Niveaux importants
- Rayonnement complexe

Objectifs du mini cours

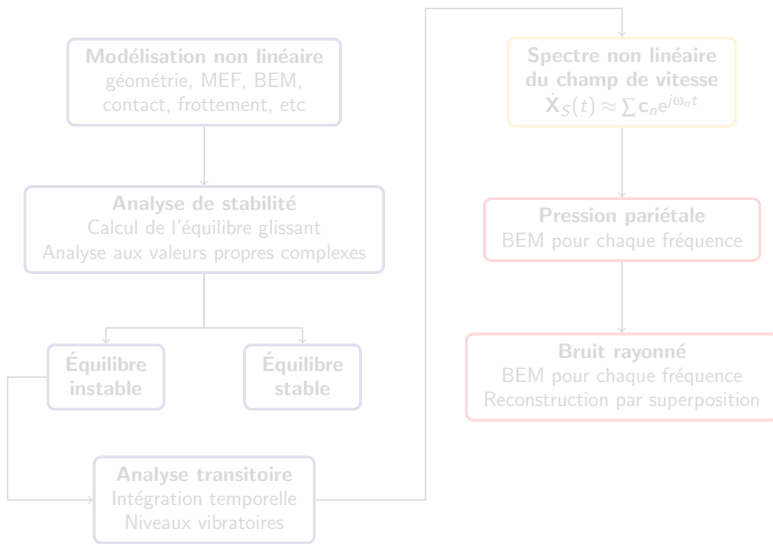
Etude d'un modèle simplifié de frein

- ① Modélisation
- ② Méthode des éléments finis
- ③ Gestion des non-linéarités (contact frottant)
- ④ Analyse de stabilité
- ⑤ Calcul des vibrations/rayonnement acoustique

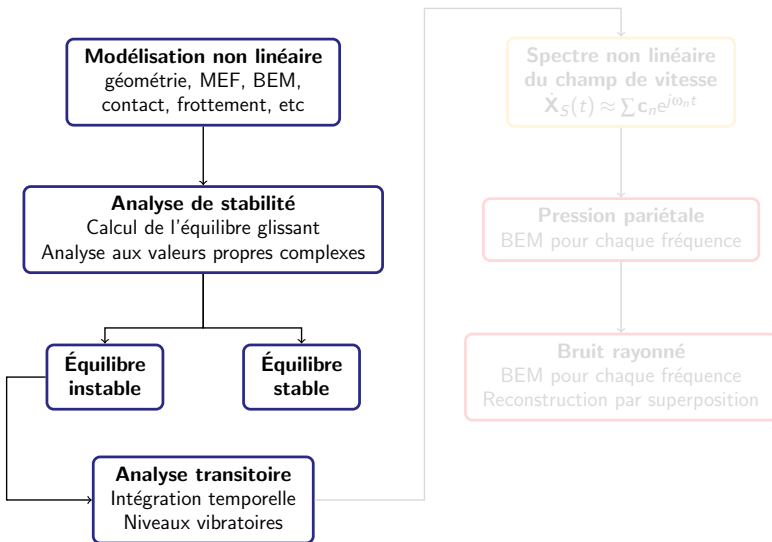
Mise en pratique : système à 2 ddls

- ① Modélisation : masse, raideur, amortissement, contact, frottement
- ② Analyse de stabilité : couplage de mode
- ③ Calcul des vibrations : intégration temporelle
- ④ Analyse des vibrations : trajectoire, portrait de phase, spectre

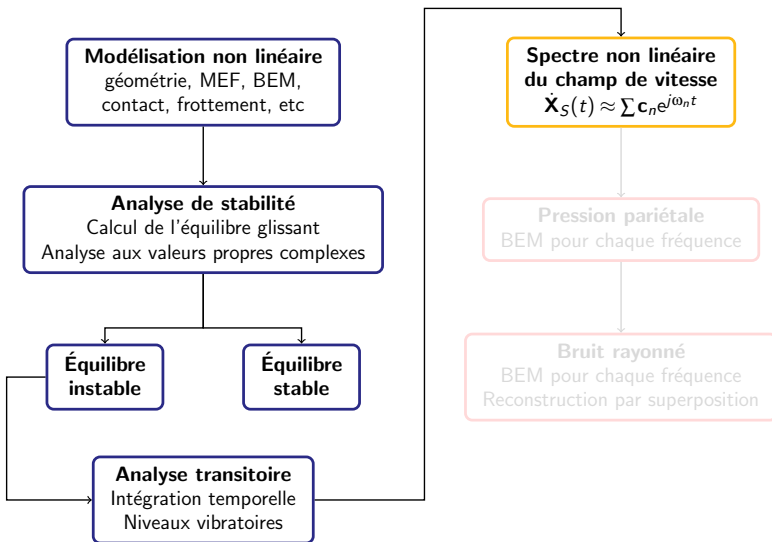
Démarche globale d'analyse numérique du crissement



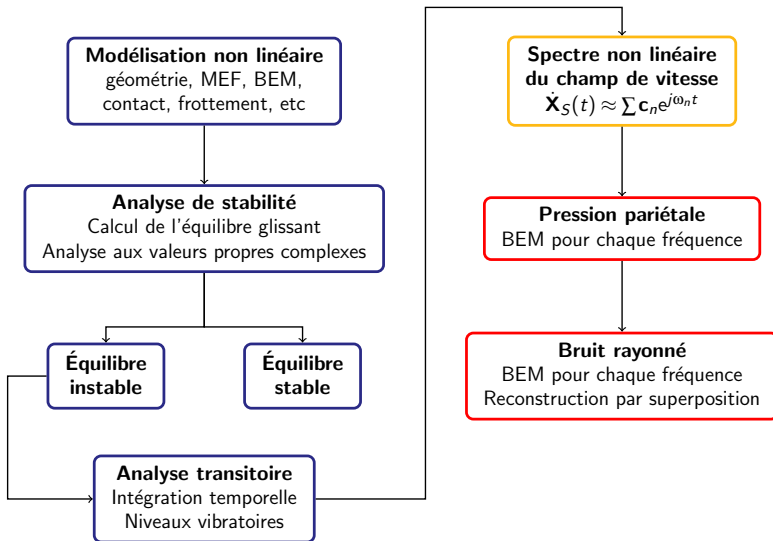
Démarche globale d'analyse numérique du crissement



Démarche globale d'analyse numérique du crissement



Démarche globale d'analyse numérique du crissement



Plan

- 1 Vibrations auto-entretenues d'un système frottant
- 2 Rayonnement acoustique lors d'un évènement de crissement
- 3 Mise en œuvre : oscillateur non linéaire à 2 ddls

Vibrations auto-entretenues d'un système frottant

① Modèle simplifié de frein à disque

② Gestion du contact

③ Modélisation du frottement

④ Stabilité d'un système frottant

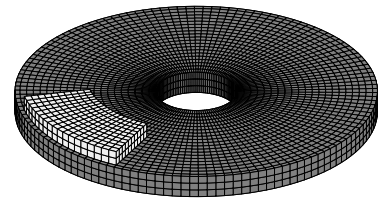
⑤ Dynamique du crissement

Modèle simplifié de frein à disque

Modélisation éléments finis

Caractéristiques

- Deux composants principaux
- Disque + une plaquette
- Maillages coïncidents (34000 ddls)
- Pression de freinage : dos de la plaquette

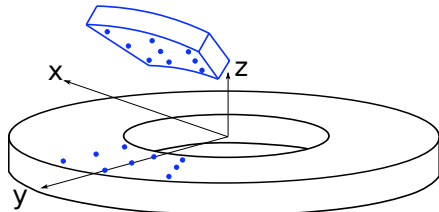


En pratique

- Méthode des éléments finis
- Outils : Structural Dynamic Toolbox (SDTools)
- Génération matrices masse/raideur puis import sous Matlab

Modèle simplifié de frein à disque

Gestion du contact frottant



Gestion du contact

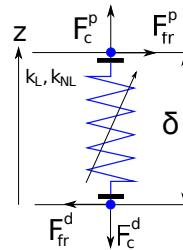
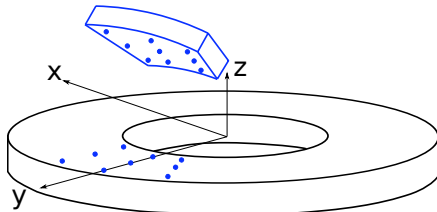
- Sélection de points de contact •
- Loi de contact :
$$F_{\text{contact},z}^d = \begin{cases} k_L \delta + k_{NL} \delta^3 & \text{si } \delta \leq 0 \\ 0 & \text{sinon} \end{cases}$$
- Non-linéarités : cubique + décollement

Gestion du frottement

- Loi de Coulomb
- Coefficient de frottement constant
- Glissement permanent
- $F_{\text{friction}}^d = -\mu F_{\text{contact},z}^d \frac{v_r}{||v_r||}$

Modèle simplifié de frein à disque

Gestion du contact frottant



Gestion du contact

- Sélection de points de contact •
- Loi de contact :
$$F_{\text{contact},z}^d = \begin{cases} k_L \delta + k_{NL} \delta^3 & \text{si } \delta \leq 0 \\ 0 & \text{sinon} \end{cases}$$
- Non-linéarités : cubique + décollement

Gestion du frottement

- Loi de Coulomb
- Coefficient de frottement constant
- Glissement permanent
- $F_{\text{friction}}^d = -\mu F_{\text{contact},z}^d \frac{\mathbf{v}_r}{\|\mathbf{v}_r\|}$

Modèle simplifié de frein à disque

Équation du mouvement

Équation du mouvement dans l'espace réduit

$$\ddot{\mathbf{M}\dot{\mathbf{X}}} + \mathbf{C}\dot{\mathbf{X}} + \mathbf{K}\mathbf{X} = \mathbf{F}_{NL}(\mathbf{X}) + \mathbf{F}_p$$

- \mathbf{M} , \mathbf{K} : masse, raideur
- \mathbf{F}_{NL} : effort non linéaire contact + frottement
- \mathbf{F}_p : pression de freinage
- \mathbf{C} : amortissement modal
- Pourcentage ξ pour les modes stables
- Taux ζ pour les modes coalescents

En pratique

① Vecteur d'état $\mathbf{Y} = [\dot{\mathbf{X}} \ \mathbf{X}]^T$

②
$$\begin{bmatrix} \ddot{\mathbf{X}} \\ \dot{\mathbf{X}} \end{bmatrix} = - \begin{bmatrix} \mathbf{M} & \mathbf{0} \\ \mathbf{0} & \mathbf{M} \end{bmatrix}^{-1} \begin{bmatrix} \mathbf{C} & \mathbf{K} \\ -\mathbf{M} & \mathbf{0} \end{bmatrix} \begin{bmatrix} \dot{\mathbf{X}} \\ \mathbf{X} \end{bmatrix} + \begin{bmatrix} \mathbf{M} & \mathbf{0} \\ \mathbf{0} & \mathbf{M} \end{bmatrix}^{-1} \begin{bmatrix} \mathbf{F}_{NL} + \mathbf{F}_p \\ \mathbf{0} \end{bmatrix}$$

③
$$\dot{\mathbf{Y}} = \mathbf{B}\mathbf{Y} + \mathbf{A}\mathbf{M}^{-1}\mathbf{V}_{NL}$$

Analyse non linéaire de stabilité

Théorie de Lyapunov

① Calcul de l'équilibre glissant : $\mathbf{KX}_{\text{glissant}} = \mathbf{F}_{\text{NL}}(\mathbf{X}_{\text{glissant}}) + \mathbf{F}_{\text{press}}$

② Linéarisation des équations du mouvement : $\mathbf{X} = \mathbf{X}_{\text{glissant}} + \delta\mathbf{X}$

$$\mathbf{M}\ddot{\delta\mathbf{X}} + \mathbf{C}\dot{\delta\mathbf{X}} + (\mathbf{K} - \mathbf{J}_{\text{NL}, \mathbf{X}_{\text{glissant}}})\delta\mathbf{X} = \mathbf{0}$$

③ Calcul des valeurs propres du système linéarisé :

$$(\lambda^2 \mathbf{M} + \lambda \mathbf{C} + (\mathbf{K} - \mathbf{J}_{\text{NL}, \mathbf{X}_{\text{glissant}}})) \Phi = \mathbf{0}$$

④ Analyse des valeurs propres du système linéarisé :

- Solution du type $\delta\mathbf{X} \propto e^{\lambda t} = e^{\Re(\lambda)t} e^{i\Im(\lambda)t}$
- Si $\forall k \quad \Re(\lambda_k) < 0 \rightarrow \mathbf{X}_{\text{glissant}}$ stable
- Si $\exists k / \Re(\lambda_k) > 0 \rightarrow \mathbf{X}_{\text{glissant}}$ instable

Analyse non linéaire de stabilité

Théorie de Lyapunov

① Calcul de l'équilibre glissant : $\mathbf{KX}_{\text{glissant}} = \mathbf{F}_{\text{NL}}(\mathbf{X}_{\text{glissant}}) + \mathbf{F}_{\text{press}}$

② Linéarisation des équations du mouvement : $\dot{\mathbf{X}} = \mathbf{X}_{\text{glissant}} + \delta\mathbf{X}$

$$\mathbf{M}\ddot{\delta\mathbf{X}} + \mathbf{C}\dot{\delta\mathbf{X}} + (\mathbf{K} - \mathbf{J}_{\text{NL}, \mathbf{X}_{\text{glissant}}})\delta\mathbf{X} = \mathbf{0}$$

③ Calcul des valeurs propres du système linéarisé :

$$(\lambda^2 \mathbf{M} + \lambda \mathbf{C} + (\mathbf{K} - \mathbf{J}_{\text{NL}, \mathbf{X}_{\text{glissant}}})) \Phi = \mathbf{0}$$

④ Analyse des valeurs propres du système linéarisé :

- Solution du type $\delta\mathbf{X} \propto e^{\lambda t} = e^{\Re(\lambda)t} e^{i\Im(\lambda)t}$
- Si $\forall k \quad \Re(\lambda_k) < 0 \rightarrow \mathbf{X}_{\text{glissant}}$ stable
- Si $\exists k / \Re(\lambda_k) > 0 \rightarrow \mathbf{X}_{\text{glissant}}$ instable

Analyse non linéaire de stabilité

Théorie de Lyapunov

① Calcul de l'équilibre glissant : $\mathbf{KX}_{\text{glissant}} = \mathbf{F}_{\text{NL}}(\mathbf{X}_{\text{glissant}}) + \mathbf{F}_{\text{press}}$

② Linéarisation des équations du mouvement : $\mathbf{X} = \mathbf{X}_{\text{glissant}} + \delta\mathbf{X}$

$$\mathbf{M}\ddot{\delta\mathbf{X}} + \mathbf{C}\dot{\delta\mathbf{X}} + (\mathbf{K} - \mathbf{J}_{\text{NL}, \mathbf{X}_{\text{glissant}}})\delta\mathbf{X} = \mathbf{0}$$

③ Calcul des valeurs propres du système linéarisé :

$$(\lambda^2 \mathbf{M} + \lambda \mathbf{C} + (\mathbf{K} - \mathbf{J}_{\text{NL}, \mathbf{X}_{\text{glissant}}})) \Phi = \mathbf{0}$$

④ Analyse des valeurs propres du système linéarisé :

- Solution du type $\delta\mathbf{X} \propto e^{\lambda t} = e^{\Re(\lambda)t} e^{i\Im(\lambda)t}$
- Si $\forall k \quad \Re(\lambda_k) < 0 \rightarrow \mathbf{X}_{\text{glissant}} \text{ stable}$
- Si $\exists k / \Re(\lambda_k) > 0 \rightarrow \mathbf{X}_{\text{glissant}} \text{ instable}$

Analyse non linéaire de stabilité

Théorie de Lyapunov

① Calcul de l'équilibre glissant : $\mathbf{KX}_{\text{glissant}} = \mathbf{F}_{\text{NL}}(\mathbf{X}_{\text{glissant}}) + \mathbf{F}_{\text{press}}$

② Linéarisation des équations du mouvement : $\mathbf{X} = \mathbf{X}_{\text{glissant}} + \delta\mathbf{X}$

$$\mathbf{M}\ddot{\delta\mathbf{X}} + \mathbf{C}\dot{\delta\mathbf{X}} + (\mathbf{K} - \mathbf{J}_{\text{NL}, \mathbf{X}_{\text{glissant}}})\delta\mathbf{X} = \mathbf{0}$$

③ Calcul des valeurs propres du système linéarisé :

$$\left(\lambda^2 \mathbf{M} + \lambda \mathbf{C} + (\mathbf{K} - \mathbf{J}_{\text{NL}, \mathbf{X}_{\text{glissant}}}) \right) \boldsymbol{\Phi} = \mathbf{0}$$

④ Analyse des valeurs propres du système linéarisé :

- Solution du type $\delta\mathbf{X} \propto e^{\lambda t} = e^{\Re(\lambda)t} e^{i\Im(\lambda)t}$
- Si $\forall k \quad \Re(\lambda_k) < 0 \rightarrow \mathbf{X}_{\text{glissant}} \text{ stable}$
- Si $\exists k / \Re(\lambda_k) > 0 \rightarrow \mathbf{X}_{\text{glissant}} \text{ instable}$

Analyse non linéaire de stabilité

Théorie de Lyapunov

① Calcul de l'équilibre glissant : $\mathbf{KX}_{\text{glissant}} = \mathbf{F}_{\text{NL}}(\mathbf{X}_{\text{glissant}}) + \mathbf{F}_{\text{press}}$

② Linéarisation des équations du mouvement : $\mathbf{X} = \mathbf{X}_{\text{glissant}} + \delta\mathbf{X}$

$$\mathbf{M}\ddot{\delta\mathbf{X}} + \mathbf{C}\dot{\delta\mathbf{X}} + (\mathbf{K} - \mathbf{J}_{\text{NL}, \mathbf{X}_{\text{glissant}}})\delta\mathbf{X} = \mathbf{0}$$

③ Calcul des valeurs propres du système linéarisé :

$$\left(\lambda^2 \mathbf{M} + \lambda \mathbf{C} + (\mathbf{K} - \mathbf{J}_{\text{NL}, \mathbf{X}_{\text{glissant}}}) \right) \boldsymbol{\Phi} = \mathbf{0}$$

④ Analyse des valeurs propres du système linéarisé :

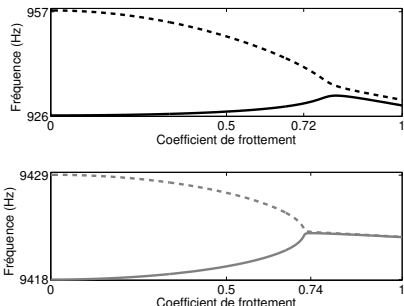
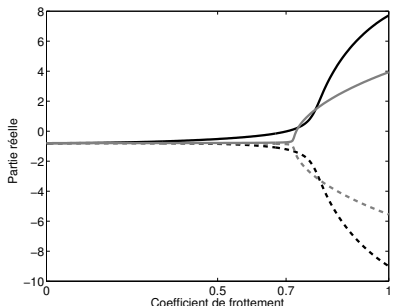
- Solution du type $\delta\mathbf{X} \propto e^{\lambda t} = e^{\Re(\lambda)t} e^{i\Im(\lambda)t}$
- Si $\forall k \quad \Re(\lambda_k) < 0 \rightarrow \mathbf{X}_{\text{glissant}} \text{ stable}$
- Si $\exists k / \Re(\lambda_k) > 0 \rightarrow \mathbf{X}_{\text{glissant}} \text{ instable}$

Analyse non linéaire de stabilité

Résultats de stabilité

En pratique

- $\mathbf{KX}_{\text{glissant}} = \mathbf{F}_{\text{NL}}(\mathbf{X}_{\text{glissant}}) + \mathbf{F}_{\text{press}}$ calculé avec *fsolve*
- Calcul de \mathbf{J}_{NL} , introduit dans \mathbf{K}
- Calcul les valeurs propres de \mathbf{B} : $[V, D] = \text{eig}(B)$
- Évolution parties réelles/fréquences : μ , amortissement, etc.



Calcul des vibrations induites par frottement

Liste des cas étudiés

Cas	μ	f_1 (Hz)	f_2 (Hz)	Stabilité
1 _{statique}	0.69	-	-	stable
2 _{statique}	0.72	929.8	-	1 instabilité
3 _{statique}	0.731	930	9420.9	2 instabilités

Problème dynamique

- Intégration temporelle
- $\dot{\mathbf{Y}} = \mathbf{BY} + \mathbf{AM}^{-1}\mathbf{V}_{NL}(\mathbf{Y}, \mu)$
- Conditions initiales :

$$\mathbf{Y}(t_0) = \begin{bmatrix} 0 \\ \mathbf{x}_{\text{glissant}}(\mu) + \delta \mathbf{x} \end{bmatrix}$$

En pratique

- $\delta \mathbf{x}$ “Suffisamment” faible
- Script *dy* qui calcule $\dot{\mathbf{Y}}(t)$
- Solver *ode45* (RK4)
- *ode45(dy, [t₀ t_f], Y(t₀), ...)*
- Analyse fréquentielle : *fft*

Calcul des vibrations induites par frottement

Liste des cas étudiés

Cas	μ	f_1 (Hz)	f_2 (Hz)	Stabilité
1 _{statique}	0.69	-	-	stable
2 _{statique}	0.72	929.8	-	1 instabilité
3 _{statique}	0.731	930	9420.9	2 instabilités

Problème dynamique

- Intégration temporelle
- $\dot{\mathbf{Y}} = \mathbf{BY} + \mathbf{AM}^{-1}\mathbf{V}_{NL}(\mathbf{Y}, \mu)$
- Conditions initiales :

$$\mathbf{Y}(t_0) = \begin{bmatrix} \mathbf{0} \\ \mathbf{x}_{\text{glissant}}(\mu) + \delta \mathbf{X} \end{bmatrix}$$

En pratique

- $\delta \mathbf{X}$ “Suffisamment” faible
- Script *dy* qui calcule $\dot{\mathbf{Y}}(t)$
- Solver *ode45* (RK4)
- *ode45(dy, [t₀ t_f], Y(t₀), ...)*
- Analyse fréquentielle : *fft*

Calcul des vibrations induites par frottement

Liste des cas étudiés

Cas	μ	f_1 (Hz)	f_2 (Hz)	Stabilité
1 _{statique}	0.69	-	-	stable
2 _{statique}	0.72	929.8	-	1 instabilité
3 _{statique}	0.731	930	9420.9	2 instabilités

Problème dynamique

- Intégration temporelle
- $\dot{\mathbf{Y}} = \mathbf{BY} + \mathbf{AM}^{-1}\mathbf{V}_{NL}(\mathbf{Y}, \mu)$
- Conditions initiales :

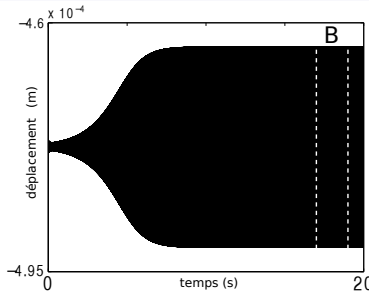
$$\mathbf{Y}(t_0) = \begin{bmatrix} \mathbf{0} \\ \mathbf{x}_{\text{glissant}}(\mu) + \delta \mathbf{X} \end{bmatrix}$$

En pratique

- $\delta \mathbf{X}$ “Suffisamment” faible
- Script *dy* qui calcule $\dot{\mathbf{Y}}(t)$
- Solver *ode45* (RK4)
- *ode45(dy, [t₀ t_f], Y(t₀), ...)*
- Analyse fréquentielle : *fft*

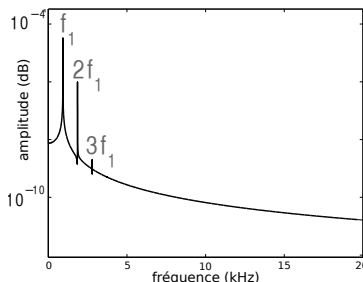
Calcul des vibrations induites par frottement

Dynamique du crissement à un mode instable : cas 2_{statique}



Analyse temporelle

- Transitoire : divergence “lente”
- Stationnaire : saturation de l'amplitude due aux non-linéarités
- Déplacement : 0.25×10^{-4} m
- Vitesse : 0.16 ms^{-1}

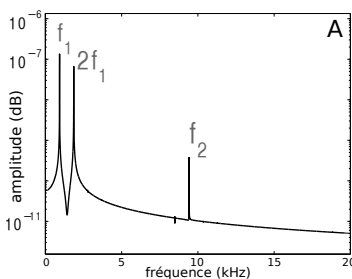
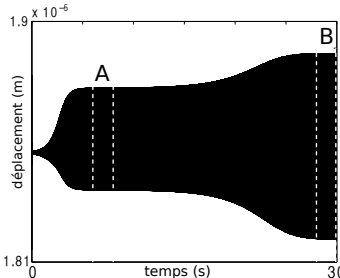


Analyse spectrale (zone B)

- Participation du 1^{er} mode instable
- $f_1 = 930 \text{ Hz}$: prédiction analyse de stabilité
- Signature non linéaire : f_1 , $2f_1$, $3f_1$

Calcul des vibrations induites par frottement

Dynamique du crissement à un mode instable : cas 3_{statique}



Analyse temporelle

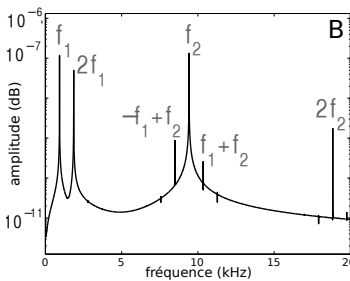
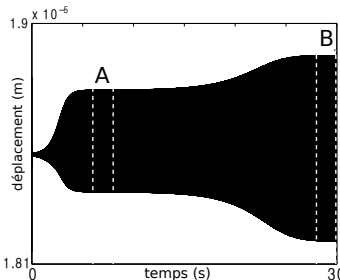
- Transitoire : divergence "lente"
- Déplacement : $0.08 \times 10^{-5} \text{ m}$
- Vitesse : 0.03 ms^{-1}

Analyse spectrale

- Participation des 2 modes instables
- $f_1 \neq 930 \text{ Hz}$
- $f_2 = 9424 \text{ Hz}$
- Signature non linéaire :
 - $f_1, 2f_1, 3f_1$ et $f_2, 2f_2$
 - Composantes $\pm mf_1 \pm nf_2$

Calcul des vibrations induites par frottement

Dynamique du crissement à un mode instable : cas 3_{statique}



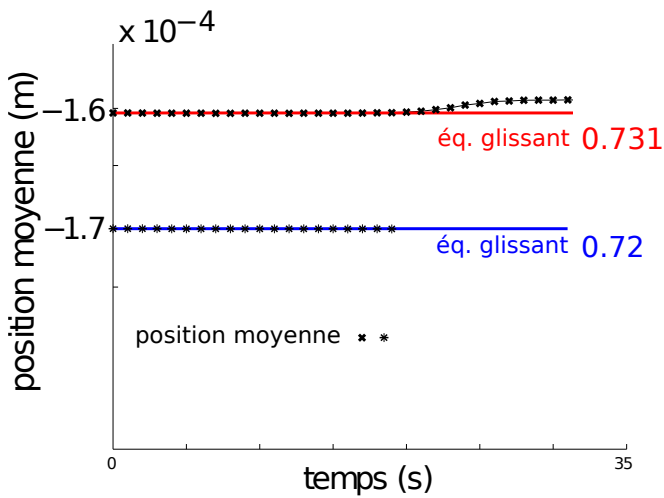
Analyse temporelle

- Transitoire : divergence "lente"
- Déplacement : 0.08×10^{-5} m
- Vitesse : 0.03 ms^{-1}

Analyse spectrale

- Participation des 2 modes instables
- $f_1 \neq 930$ Hz
- $f_2 = 9424$ Hz
- Signature non linéaire :
 - $f_1, 2f_1, 3f_1$ et $f_2, 2f_2$
 - Composantes $\pm mf_1 \pm nf_2$

Analyse de la position moyenne

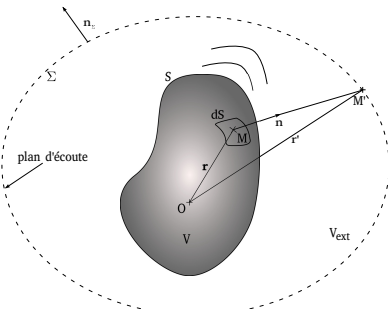


Formulation acoustique mono-fréquentielle et BEM

Formulation continue

- ➊ Calcul des **vibrations** – Évolution harmonique : $P(\mathbf{r}', t) = \hat{P}(\mathbf{r}') e^{j\omega t}$
- ➋ Équation des ondes : $(\Delta + k^2) \hat{P}(\mathbf{r}') = 0$
- ➌ Équation intégrale de Kirchhoff-Helmholtz :

$$c(\mathbf{r}') \hat{P}(\mathbf{r}') = \int_S \left(\hat{P}(\mathbf{r}) \frac{\partial G(\mathbf{r}, \mathbf{r}', k)}{\partial n} - G(\mathbf{r}, \mathbf{r}', k) \frac{\partial \hat{P}(\mathbf{r})}{\partial n} \right) dS$$



Méthode des éléments de frontière

- ➊ Pression pariétale :

$$(M - C)\hat{P}_S = -jkpcL\hat{V}_n$$

- ➋ Pression rayonnée :

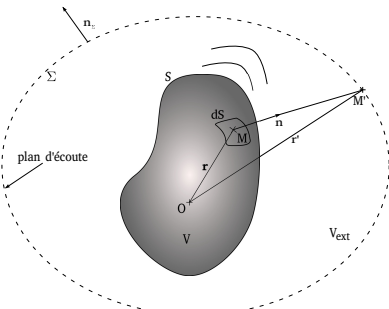
$$C\hat{P} = M\hat{P}_S + jkpcL\hat{V}_n$$

Formulation acoustique mono-fréquentielle et BEM

Formulation continue

- ➊ Calcul des **vibrations** – Évolution harmonique : $P(\mathbf{r}', t) = \hat{P}(\mathbf{r}') e^{j\omega t}$
- ➋ Équation des ondes : $(\Delta + k^2) \hat{P}(\mathbf{r}') = 0$
- ➌ Équation intégrale de Kirchhoff-Helmholtz :

$$c(\mathbf{r}') \hat{P}(\mathbf{r}') = \int_S \left(\hat{P}(\mathbf{r}) \frac{\partial G(\mathbf{r}, \mathbf{r}', k)}{\partial n} - G(\mathbf{r}, \mathbf{r}', k) \frac{\partial \hat{P}(\mathbf{r})}{\partial n} \right) dS$$



Méthode des éléments de frontière

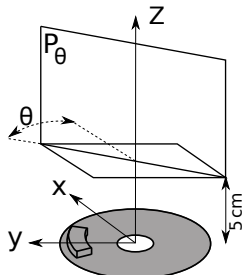
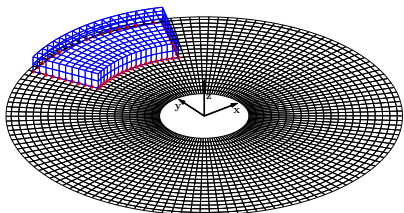
- ➊ Pression pariétale :

$$(\mathbb{M} - \mathbb{C}) \hat{\mathbf{P}}_S = -j k \rho c \mathbb{L} \hat{\mathbf{V}}_n$$
- ➋ Pression rayonnée :

$$\mathbb{C} \hat{\mathbf{P}} = \mathbb{M} \hat{\mathbf{P}}_S + j k \rho c \mathbb{L} \hat{\mathbf{V}}_n$$

Application au système de frein

Modèle éléments finis de frontière

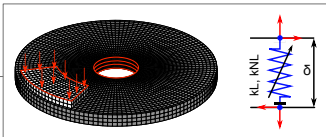


En pratique

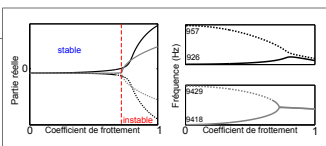
- ➊ OpenBEM toolbox open source
<http://www.openbem.dk/>
- ➋ Inputs :
 - maillage surfacique
 - champ de vitesse pariétale
 - fréquence
- ➌ Output : pression pariétale
- ➍ Calcul du champ de pression sur des plans d'écoute

Modélisation NL

Géométrie, MEF,
contact, frottement

**Analyse de stabilité**

Valeurs propres
Système linéarisé

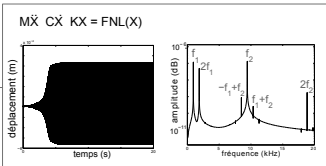


Équilibre
instable

Équilibre
stable

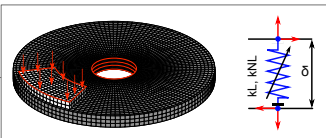
Analyse NL

Intégration temporelle
Niveaux vibratoires

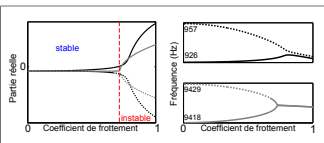


Modélisation NL

Géométrie, MEF,
contact, frottement

**Analyse de stabilité**

Valeurs propres
Système linéarisé

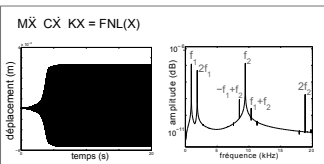


Équilibre
instable

Équilibre
stable

Analyse NL

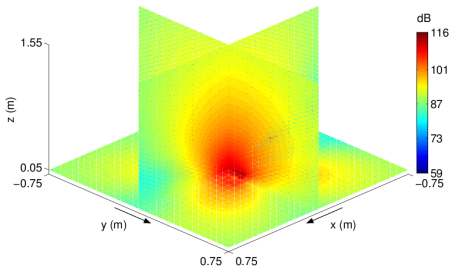
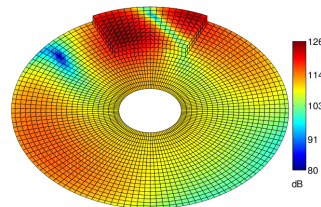
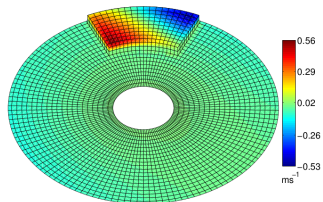
Intégration temporelle
Niveaux vibratoires



Couplage MEF/BEM

Application au système de frein

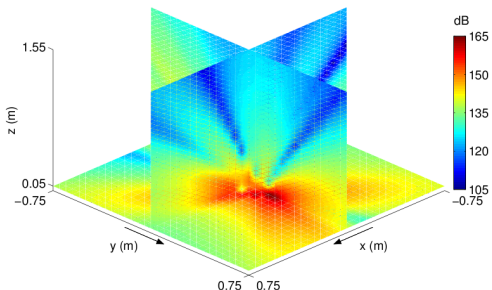
Rayonnement acoustique à 1 mode instable : cas 2_{statique}



Ordre	Base
1	f_1
2	$2f_1$
3	$3f_1$
4	$4f_1$
5	$5f_1$
6	$6f_1$
10	$10f_1$

Application au système de frein

Rayonnement acoustique à 2 modes instables : cas 3_{statique}

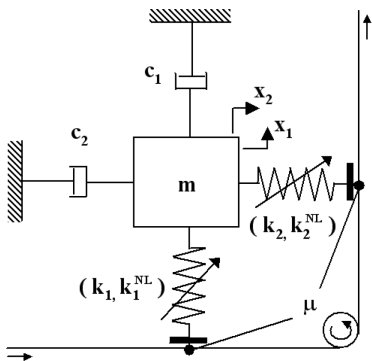


Temps de calcul

- Problème pariétal : 2 h/comp.
- P. rayonnée : 1 s/point soit 1 h/comp.
- Total : $3h \times 15 \text{ comp.} \approx 2 \text{ jours}$

Ordre	Base
1	f_1 f_2
2	$2f_1$ $-f_1 + f_2$ $f_1 + f_2$ $2f_2$
3	$3f_1$ $-2f_1 + f_2$ $2f_1 + f_2$ $-f_1 + 2f_2$ $f_1 + 2f_2$
4	$-2f_1 + 2f_2$
11	$10f_1 + f_2$

Oscillateur à 2 ddls : hypothèses



Hypothèses

- ① 2 ddls : x_1, x_2
- ② Vitesse glissement constante
- ③ Contact permanent
- ④ Ressorts non linéaires
- ⑤ Frottement de Coulomb

Oscillateur à 2 ddls : modèle

- ➊ Effort de contact/frottement :
- $$\begin{bmatrix} -k_1x_1 - k_1^{\text{nl}}x_1^3 + \mu(k_2x_2 + k_2^{\text{nl}}x_2^3) \\ -k_2x_2 - k_2^{\text{nl}}x_2^3 - \mu(k_1x_1 + k_1^{\text{nl}}x_1^3) \end{bmatrix}$$
- ➋ Équilibre dynamique
- $$\underbrace{\begin{bmatrix} m & 0 \\ 0 & m \end{bmatrix}}_{\mathbf{M}} \underbrace{\begin{bmatrix} \ddot{x}_1 \\ \ddot{x}_2 \end{bmatrix}}_{\ddot{\mathbf{x}}} + \underbrace{\begin{bmatrix} c_1 & 0 \\ 0 & c_2 \end{bmatrix}}_{\mathbf{C}} \underbrace{\begin{bmatrix} \dot{x}_1 \\ \dot{x}_2 \end{bmatrix}}_{\dot{\mathbf{x}}} + \underbrace{\begin{bmatrix} k_1 & -\mu k_2 \\ \mu k_1 & k_2 \end{bmatrix}}_{\mathbf{K}} \underbrace{\begin{bmatrix} x_1 \\ x_2 \end{bmatrix}}_{\mathbf{x}} = \underbrace{\begin{bmatrix} -k_1^{\text{nl}}x_1^3 + \mu k_2^{\text{nl}}x_2^3 \\ -k_2^{\text{nl}}x_2^3 - \mu k_1^{\text{nl}}x_1^3 \end{bmatrix}}_{\mathbf{F}_{\text{NL}}}$$
- ➌ Équation d'état : $\mathbf{Y} = [\dot{\mathbf{X}} \, \mathbf{X}]^T \rightarrow \dot{\mathbf{Y}} = \mathbf{B}\mathbf{Y} + \mathbf{A}\mathbf{M}^{-1}\mathbf{V}_{\text{NL}}(\mathbf{Y})$

Oscillateur à 2 ddls : analyse de stabilité

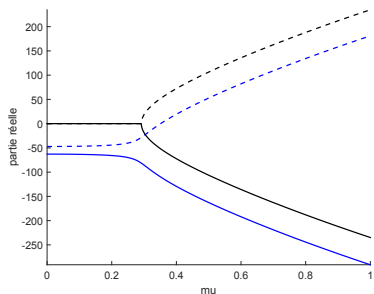
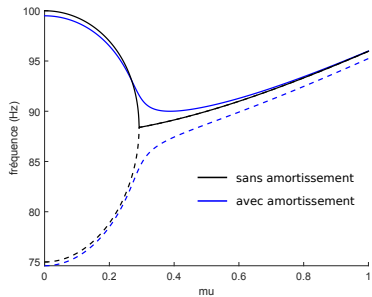
Paramètres

- ① Fréquences propres : $\omega_1 = 2\pi \times 100$ - $\omega_2 = 2\pi \times 75$
- ② Masse : $m_1 = m_2 = 1\text{kg}$
- ③ Raideurs : $k_i = m_i \omega_i^2$ - $k_i = k_i^{NL}$
- ④ Amortissement modale : $\zeta_i = 2\xi_i \omega_i$ - $\xi_i = 0.1$
- ⑤ Coefficient de frottement $\mu \in [0 \ 1]$

Analyse de stabilité

- ① **for** i=1 :N
 $\mu = i/N$
 $\mathbf{B}(\mu) = -\mathbf{A}\mathbf{M}^{-1}\mathbf{A}\mathbf{K}$
 $[\mathbf{V}, \mathbf{D}] = \text{eig}(\mathbf{B})$
end
- ② Parties réelles : $\text{real}(D)$ - fréquences : $\text{imag}(D)/2\pi$

Oscillateur à 2 ddls : diagramme de stabilité



- Coalescence de modes
- Parfaite sans amort.
- Couplage pour $\mu_C = 0.352$ (avec amort.)
- Apparition de partie réelle > 0
- Synchrone avec la coalescence
- Amortissement "stabilise"

Point de bifurcation de Hopf : dans la suite $\mu = 1.01 \times \mu_C$

Oscillateur à 2 ddls : intégration temporelle

Intégration temporelle

① Écriture d'une fonction dy

② Effort non linéaire :

$$\begin{aligned} vnl(1,1) &= kNL1*y(3)^3 - mu*kNL2*y(4)^3 ; \\ vnl(2,1) &= -kNL2*y(4)^3 - mu*kNL1*y(3)^3 ; \\ vnl(3,1) &= 0 ; \\ vnl(4,1) &= 0 ; \end{aligned}$$

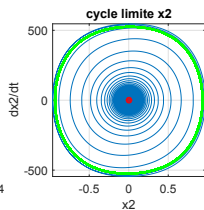
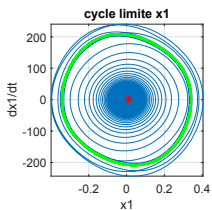
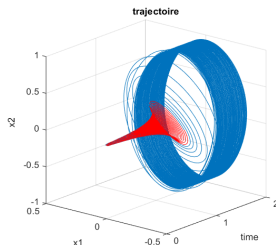
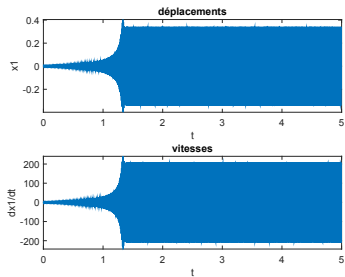
③ EDO à résoudre : $yp=B*y + inv(AM)*vnl$;

④ Conditions initiales : $initial=[0 \ 0 \ 0.01 \ 0]$;

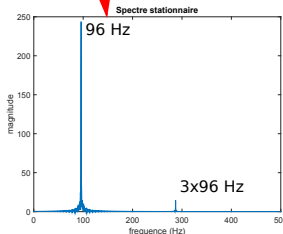
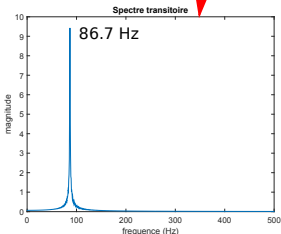
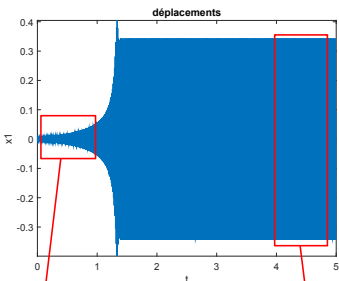
⑤ Intervalle de temps : $tspan$

⑥ Résolution : $[t, y] = ode45('dy',tspan,initial)$;

Oscillateur à 2 ddls : analyse temporelle



Oscillateur à 2 ddls : analyse fréquentielle



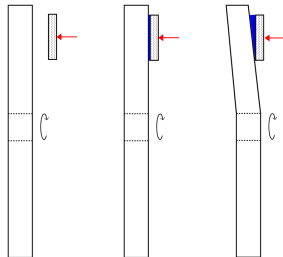
Dynamique non linéaire et rayonnement acoustique des structures à interfaces frottantes

Workshop csma juniors - 14 mai 2017
Mini cours 1 : vibrations non linéaires

Kevin Soobbarayen



Influence des paramètres sur le crissement : contexte



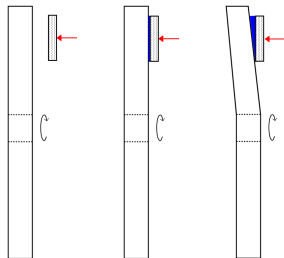
Approche classique

- Occurrence de crissement
- Intégration temporelle :
 $\mathbf{X}(t_0) = \mathbf{X}_{\text{glissant}} + \delta \mathbf{X}$
 $\dot{\mathbf{X}}(t_0) = \mathbf{0}$

Objectifs

- ➊ Chargement temporel comme mécanisme déstabilisant
- ➋ Influence du trajet de chargement sur le crissement
- ➌ Influence du coefficient de frottement

Influence des paramètres sur le crissement : contexte



Approche classique

- Occurrence de crissement
- Intégration temporelle :
 $\mathbf{X}(t_0) = \mathbf{X}_{\text{glissant}} + \delta \mathbf{X}$
 $\dot{\mathbf{X}}(t_0) = \mathbf{0}$

Objectifs

- ① Chargement temporel comme mécanisme déstabilisant
- ② Influence du trajet de chargement sur le crissement
- ③ Influence du coefficient de frottement

Chargements envisagés

$$\ddot{\mathbf{M}\dot{\mathbf{X}}} + \mathbf{C}\dot{\mathbf{X}} + \mathbf{K}\mathbf{X} = \mathbf{F}_{\text{NL}}(\mathbf{X}) + \mathbf{F}_{\text{press}}(t)$$

Changement statique

- $\mathbf{F}_{\text{press}}(t) = \mathbf{F}_{\text{max}}$
- CI $\begin{cases} \mathbf{X}(t_0) = \mathbf{X}_{\text{glissant}} + \delta\mathbf{X} \\ \dot{\mathbf{X}}(t_0) = \mathbf{0} \end{cases}$

Changement en rampe

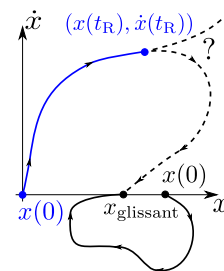
- $\mathbf{F}_{\text{press}}(t) = \begin{cases} \mathbf{F}_{\text{max}} \frac{t}{t_R} & \text{si } t \leq t_R \\ \mathbf{F}_{\text{max}} & \text{sinon} \end{cases}$
- CI $\begin{cases} \mathbf{X}(t_0) = \mathbf{0} \\ \dot{\mathbf{X}}(t_0) = \mathbf{0} \end{cases}$

Chargements envisagés

$$\ddot{\mathbf{M}\dot{\mathbf{X}}} + \mathbf{C}\dot{\mathbf{X}} + \mathbf{K}\mathbf{X} = \mathbf{F}_{\text{NL}}(\mathbf{X}) + \mathbf{F}_{\text{press}}(t)$$

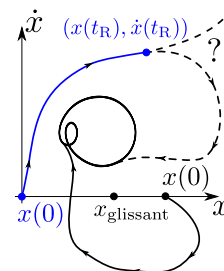
Changement statique

- $\mathbf{F}_{\text{press}}(t) = \mathbf{F}_{\text{max}}$
- CI $\begin{cases} \mathbf{X}(t_0) = \mathbf{X}_{\text{glissant}} + \delta\mathbf{X} \\ \dot{\mathbf{X}}(t_0) = \mathbf{0} \end{cases}$



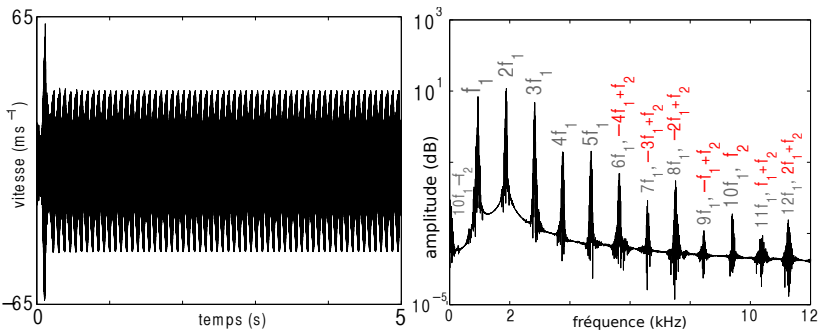
Changement en rampe

- $\mathbf{F}_{\text{press}}(t) = \begin{cases} \mathbf{F}_{\text{max}} \frac{t}{t_R} & \text{si } t \leq t_R \\ \mathbf{F}_{\text{max}} & \text{sinon} \end{cases}$
- CI $\begin{cases} \mathbf{X}(t_0) = \mathbf{0} \\ \dot{\mathbf{X}}(t_0) = \mathbf{0} \end{cases}$



Vibrations non linéaires sous chargement temporel

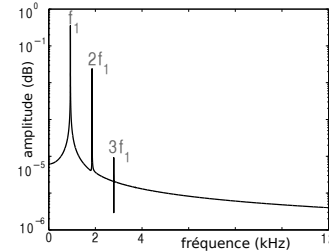
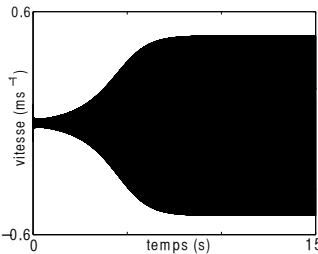
Déstabilisation par une rampe rapide : cas 1_{rapide}



Vibrations non linéaires sous chargement temporel

Influence sur le cas à 1 mode instable

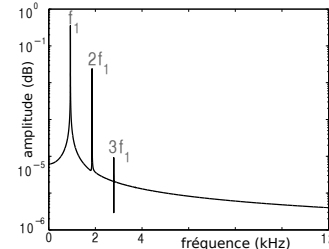
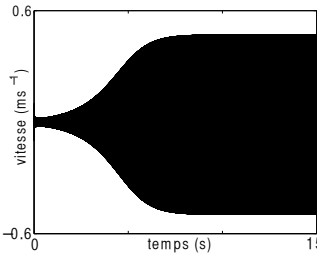
Charge statique : cas 2_{statique}



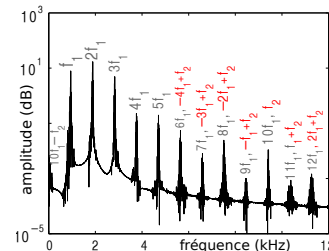
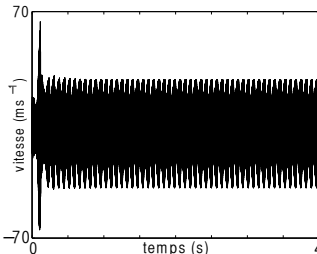
Vibrations non linéaires sous chargement temporel

Influence sur le cas à 1 mode instable

Charge statique : cas 2_{statique}



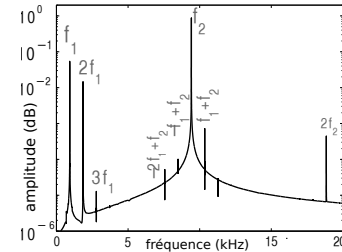
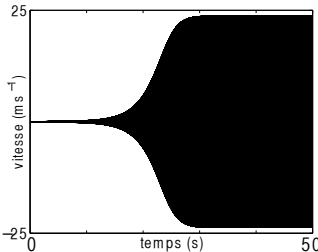
Chargement en rampe : cas 2_{rapide}



Vibrations non linéaires sous chargement temporel

Influence sur le cas à 2 modes instables

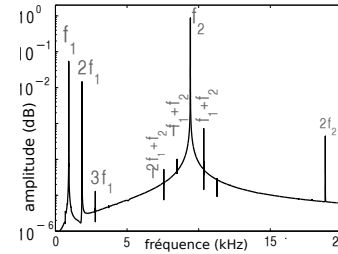
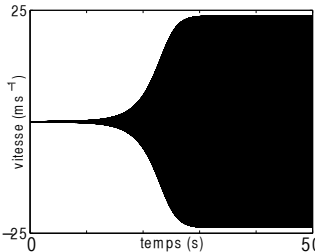
Charge statique : cas 3_{statique}



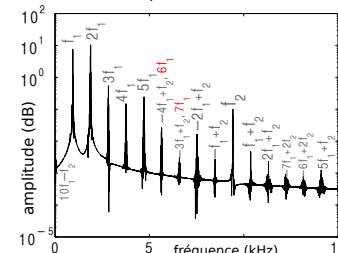
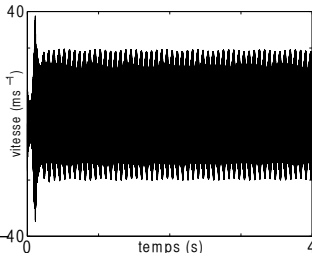
Vibrations non linéaires sous chargement temporel

Influence sur le cas à 2 modes instables

Charge statique : cas 3_{statique}



Chargement en rampe : cas 3_{rapide}

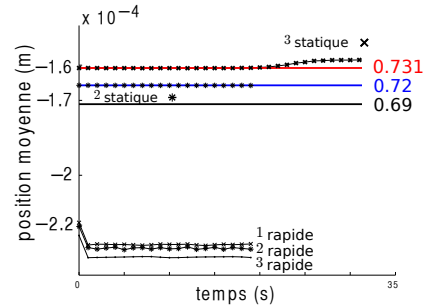


Vibrations non linéaires sous chargement temporel

Analyse de la position moyenne

Influence de la rampe

- Modification des amplitudes
- Activation de nouvelles composantes
- Évolution des fréquences fondamentales instables
- Modification des cycles limites



Vibrations non linéaires sous chargement temporel

Analyse de la position moyenne

Influence de la rampe

- Modification des amplitudes
- Activation de nouvelles composantes
- Évolution des fréquences fondamentales instables
- Modification des cycles limites

